

## Elektrische Eigenschaften

## Electrical properties

## Höchstzulässige Werte

## Maximum rated values

Periodische Vorwärts- und Rückwärts-Sperrspannung	repetitive peak forward off-state and reverse voltages	$t_{vj} = -40^{\circ}\text{C} \dots t_{vj \text{ max}}$	$V_{\text{DRM}}, V_{\text{RRM}}$ 2 0 0, 4 0 0 v 600 V
Vorwärts-Stoßsperrspannung	non repetitive peak forward off-state voltage	$t_{vj} = -40^{\circ}\text{C} \dots t_{vj \text{ max}}$	$V_{\text{DSM}} = V_{\text{DRM}}$
Rückwärts-Stoßsperrspannung	non repetitive peak reverse voltage	$t_{vj} = +25^{\circ}\text{C} \dots t_{vj \text{ max}}$	$V_{\text{RSM}} = V_{\text{RRM}}$ +50 v
Durchlaßstrom-Grenzeffektivwert	RMS on-state current	$t_c = 85^{\circ}\text{C}$	$I_{\text{TRMSM}}$ 600 A
Dauergrenzstrom	average on-state current	$t_c = 71^{\circ}\text{C}$	$I_{\text{TAVM}}$ 308 A 382 A
Stoßstrom-Grenzwert	surge current	$t_{vj} = 25^{\circ}\text{C}, t_p = 10 \text{ ms}$	$I_{\text{TSM}}$ 4600 A
Grenzlastintegral	$I^2t$ -value	$t_{vj} = t_{vj \text{ max}}, t_p = 10 \text{ ms}$	4000 A
Kritische Stromsteilheit	critical rate of rise of on-state current	$t_{vj} = 25^{\circ}\text{C}, t_p = 10 \text{ ms}$	$I^2t$ 106 $\text{kA}^2\text{s}$
Kritische Spannungssteilheit	critical rate of rise of off-state voltage	$t_{vj} = t_{vj \text{ max}}, t_p = 10 \text{ ms}$	80 $\text{kA}^2\text{s}$
		$V_D \leq 67\% V_{\text{DRM}}, f = 50 \text{ Hz}$	$(di/dt)_{\text{cr}}$ 300 $\text{A}/\mu\text{s}$
		$I_{\text{GM}} = 0,8 \text{ A}, di_G/dt = 0,8 \text{ Alps}$	
		$t_{vj} = t_{vj \text{ max}}, V_D = 87\% V_{\text{DRM}}$	$(dv/dt)_{\text{cr}}$ B: 50 50 $\text{V}/\mu\text{s}$ C*: 500 500 $\text{V}/\mu\text{s}$ L: 500 50 $\text{V}/\mu\text{s}$ M*: 1000 500 $\text{V}/\mu\text{s}$

## Charakteristische Werte

## Characteristic values

Durchlaßspannung	on-state voltage	$t_{vj} = t_{vj \text{ max}}, i_T = 1000 \text{ A}$	$V_T$ max. 1,9 v
Schleusenspannung	threshold voltage	$t_{vj} = t_{vj \text{ max}}$	$V_{T(\text{TO})}$ 1 v
Ersatzwiderstand	slope resistance	$t_{vj} = t_{vj \text{ max}}$	$r_T$ 0,7 $\text{mS}^2$
Zündstrom	gate trigger current	$t_{vj} = 25^{\circ}\text{C}, V_D = 8 \text{ V}$	$I_{\text{GT}}$ max. 200 mA
Zündspannung	gate trigger voltage	$t_{vj} = 25^{\circ}\text{C}, V_D = 6 \text{ V}$	$V_{\text{GT}}$ max. 2 v
Nicht zündender Steuerstrom	gate non-trigger current	$t_{vj} = t_{vj \text{ max}}, V_D = 6 \text{ V}$	$I_{\text{GD}}$ max. 10 mA
Nicht zündende Steuerspannung		$t_{vj} = t_{vj \text{ max}}, V_D = 0,5 V_{\text{DRM}}$	$V_{\text{GD}}$ max. 0,25 V
Haltestrom	holding current	$t_{vj} = 25^{\circ}\text{C}, V_D = 6 \text{ V}, R_{\text{AK}} = 5 \Omega$	$I_{\text{H}}$ max. 200 mA
Einraststrom	latching current	$t_i = 25^{\circ}\text{C}, V_D = 6 \text{ V}, R_{\text{GK}} \geq 10 \Omega$	$I_{\text{L}}$ max. 1 A
Vorwärts- u. Rückwärts-Sperrstrom	forward off-state and reverse Currents	$I_{\text{GM}} = 0,8 \text{ A}, di_G/dt = 0,8 \text{ A}/\mu\text{s}, t_g = 20 \mu\text{s}$	$i_D, i_R$ max. 30 mA
ündverzug	gate controlled delay time	$t_{vj} = t_{vj \text{ max}}, V_D = V_{\text{DRM}}, V_R = V_{\text{RRM}}$	$t_{\text{gd}}$ max. 1,4 $\mu\text{s}$
Freiwerdezeit	circuit commutated turn-off time	$t_{vj} = 25^{\circ}\text{C}, I_{\text{GM}} = 0,8 \text{ A}, di_G/dt = 0,8 \text{ A}/\mu\text{s}$ siehe Techn. Erl./see Techn. Inf.	$t_q$ C*: max. 12 $\mu\text{s}$ D: max. 15 $\mu\text{s}$ E: max. 20 $\mu\text{s}$

## Thermische Eigenschaften

## Thermal properties

Innerer Wärmewiderstand für beidseitige Kühlung	thermal resistance, junction to case for two-sided cooling	$\theta = 180^{\circ} \text{ el, sin}$ DC	$R_{\text{thJC}}$ max. 0,108 $^{\circ}\text{C}/\text{W}$ max. 0,099 $^{\circ}\text{C}/\text{W}$
für anodenseitige Kühlung	for anode-sided cooling	$\theta = 180^{\circ} \text{ el, sin}$ DC	$R_{\text{thJC(A)}}$ max. 0,189 $^{\circ}\text{C}/\text{W}$ max. 0,18 $^{\circ}\text{C}/\text{W}$
für kathodenseitige Kühlung	for cathode-sided cooling	$\theta = 180^{\circ} \text{ el, sin}$ DC	$R_{\text{thJC(K)}}$ max. 0,232 $^{\circ}\text{C}/\text{W}$ max. 0,22 $^{\circ}\text{C}/\text{W}$
Übergangswärmewiderstand	thermal resistance, case to heatsink	beidseitig/two-sided einseitig/one-sided	$R_{\text{thCK}}$ max. 0,015 $^{\circ}\text{C}/\text{W}$ max. 0,03 $^{\circ}\text{C}/\text{W}$
Höchstzul. Sperrschichttemperatur	max. junction temperature		$t_{vj \text{ max}}$ 140 $^{\circ}\text{C}$
Betriebstemperatur	Operating temperature		$t_{c \text{ op}}$ -40 ... + 140 $^{\circ}\text{C}$
Lagertemperatur	storage temperature		$t_{\text{stg}}$ -40 ... + 140 $^{\circ}\text{C}$

## Mechanische Eigenschaften

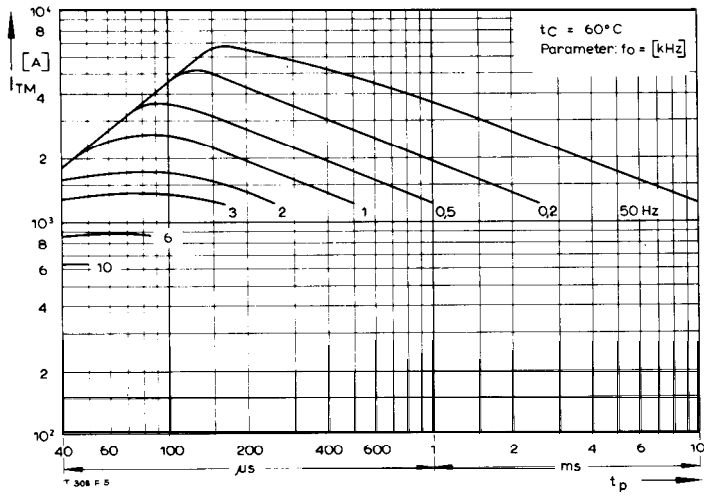
## Mechanical properties

Si-Element mit Druckkontakt	Si-pellet with pressure contact		F 2,5... 5 kN
Anpreßkraft	Clamping force		G typ. 70g
Gewicht	weight		17 mm
Kriechstrecke	Creepage distance		C
Feuchteklasse	humidity classification	DIN 40040	50 $\text{m/s}^2$
Schwingfestigkeit	Vibration resistance	f = 50 Hz	Seite/page 154
Maßbild	outline	DIN 41814-151A4	

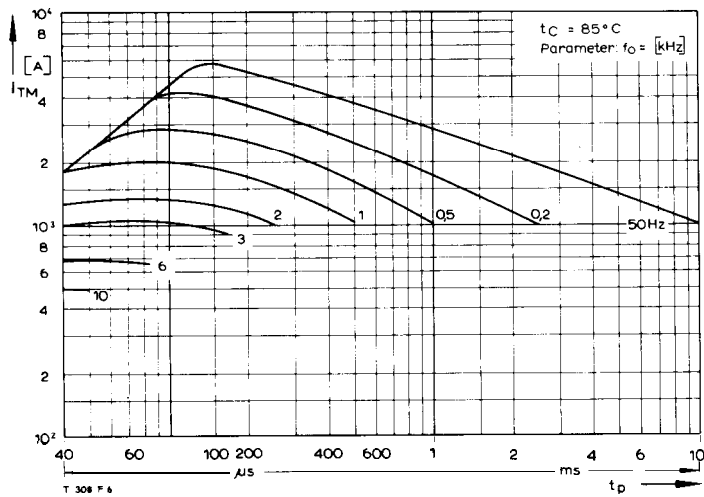
Für größere Stückzahlen bitte Liefertermin erfragen/Delivery for larger quantities on request

1) Werte nach DIN IEC 747-6 (ohne vorausgehende Kommutierung)/Values to DIN IEC 747-6 (without prior commutation)

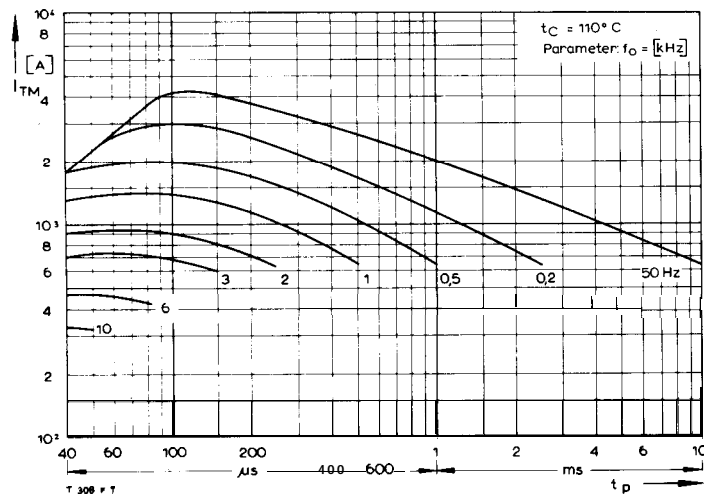
2) Unmittelbar nach der Freiwerdezeit, vgl. Meßbedingungen für  $t_q$ /Immediately after circuit commutated turn-off time, see Parameters  $t_q$



Bild/Fig. 1



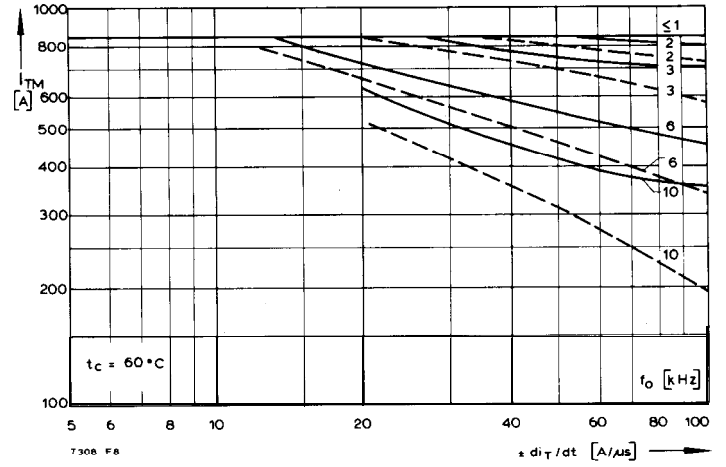
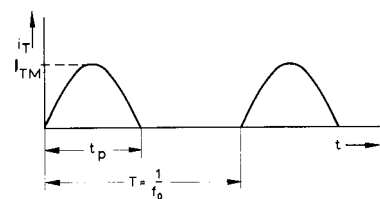
Bild/Fig. 2



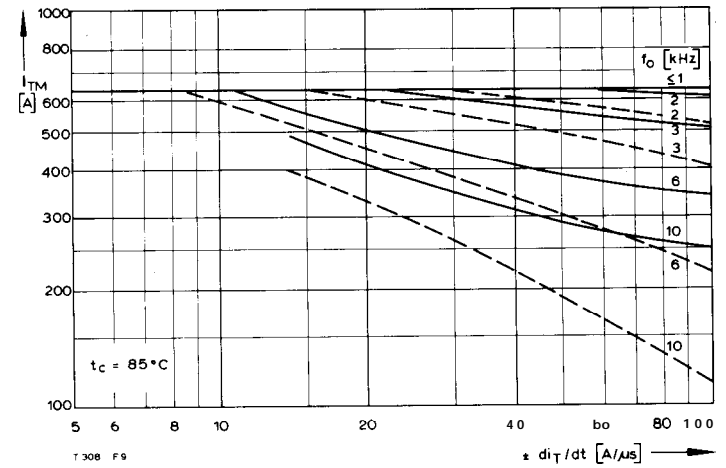
Bild/Fig. 3

Bild/Fig. 1, 2, 3  
Steuergenerator/pulse generator:  
 $i_G = 0,8 \text{ A}$ ,  $di_G/dt = 0,8 \text{ A}/\mu\text{s}$

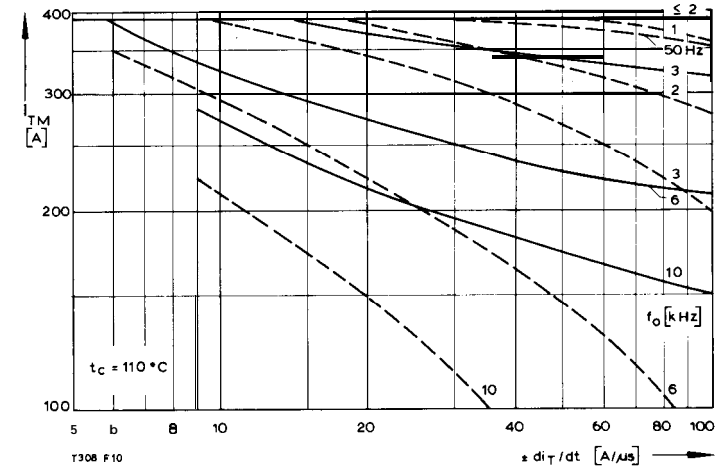
RC-Glied/RC-network:  
 $R [\Omega] \geq 0,02 V_{DM} [V]$   
 $C \leq 0,22 \mu\text{F}$   
 $V_{DM} \leq 0,67 V_{DRM}$



Bild/Fig. 4



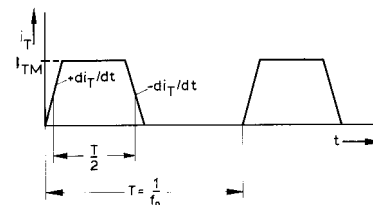
Bild/Fig. 5

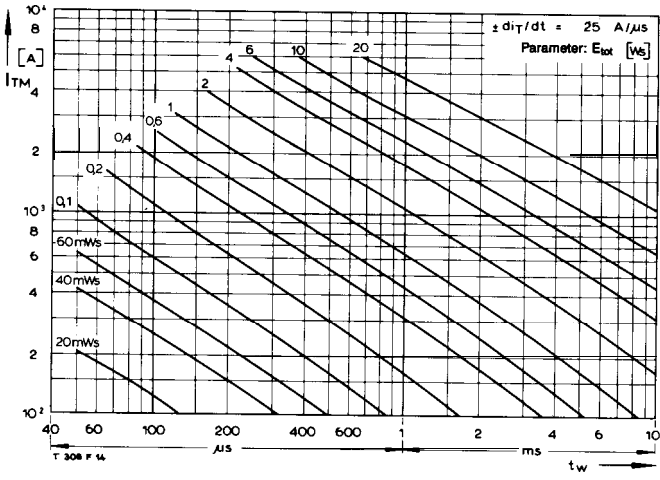


Bild/Fig. 6

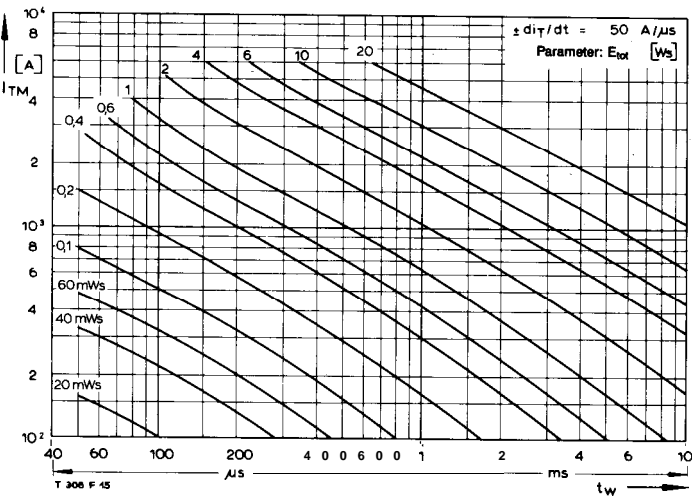
Bild/Fig. 4, 5, 6  
Steuergenerator/pulse generator:  
 $i_G = 0,8 \text{ A}$ ,  $di_G/dt = 0,8 \text{ A}/\mu\text{s}$

RC-Glied/RC-network:  
 $R [\Omega] \geq 0,02 V_{DM} [V]$   
 $C \leq 0,33 \mu\text{F}$   
 $V_{DM} \leq 0,67 V_{DRM}$   
 $dv_R/dt \leq 400 \text{ V}/\mu\text{s}$   
 $V_{RM} \leq 0,67 V_{RRM}$

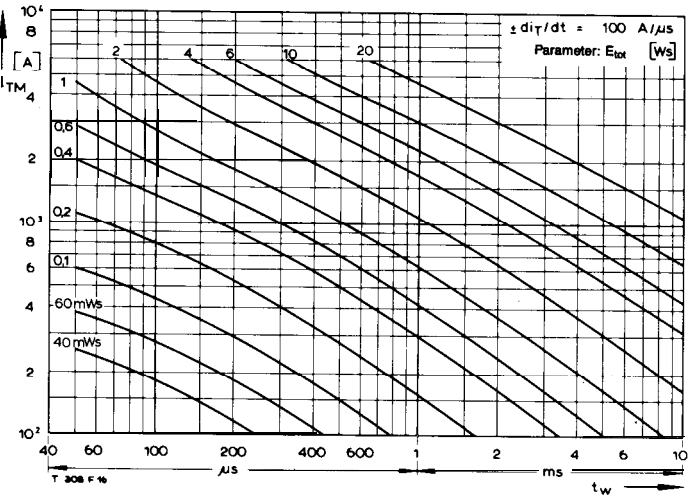




Bild/Fig. 10



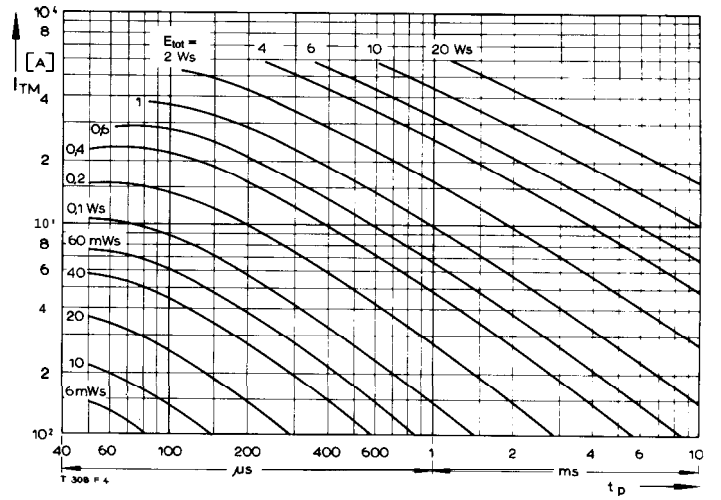
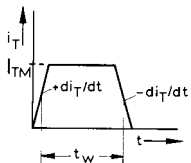
Bild/Fig. 11



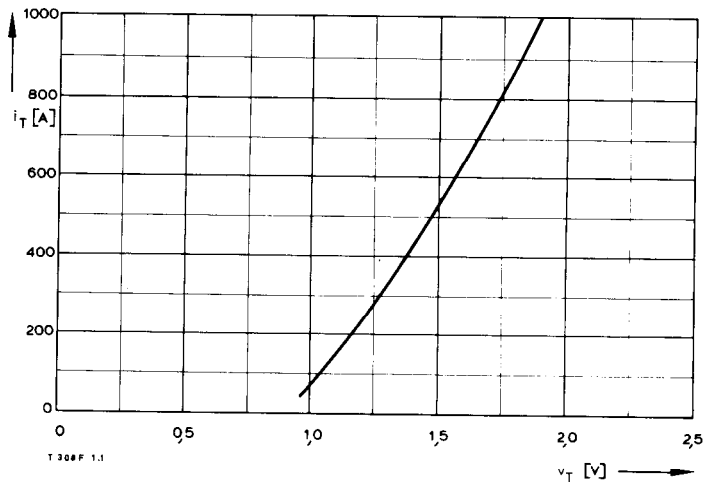
Bild/Fig. 12

Bild/Fig. 10, 11, 12  
Steuer-generator/pulse generator:  
 $i_G = 0,8 \text{ A}$ ,  $di_G/dt = 0,8 \text{ A/us}$

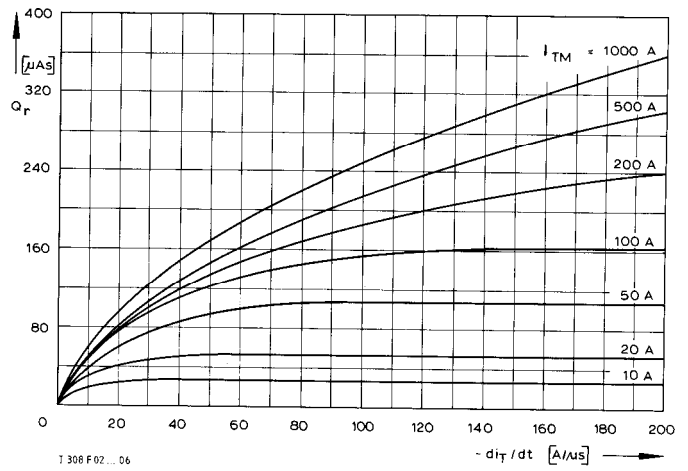
RC-Glied/RC-network:  
 $R [\Omega] \geq 0,02 V_{DM} [V]$   
 $C \leq 0,33 \mu\text{F}$   
 $V_{DM} \leq 0,67 V_{DRM}$   
 $dV_R/dt \leq 400 \text{ V/us}$   
 $V_{RM} \leq 0,67 V_{RRM}$



Bild/Fig. 13



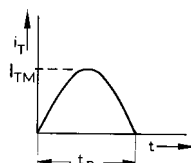
Bild/Fig. 14

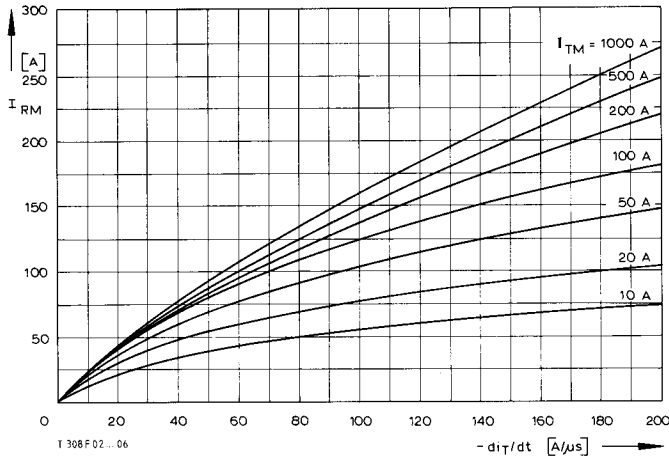


Bild/Fig. 15

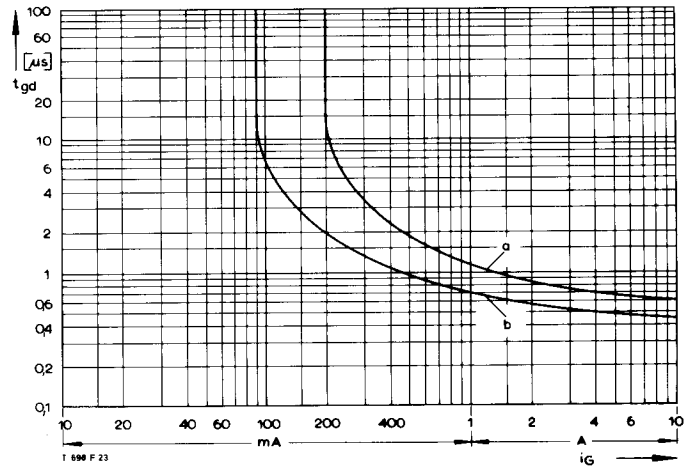
(zu Bild/ Fig. 13)  
Steuer-generator/pulse generator:  
 $i_G = 0,8 \text{ A}$ ,  $di_G/dt = 0,8 \text{ A/us}$

RC-Glied/RC-network:  
 $R [\Omega] \geq 0,02 V_{DM} [V]$   
 $C \leq 0,22 \mu\text{F}$

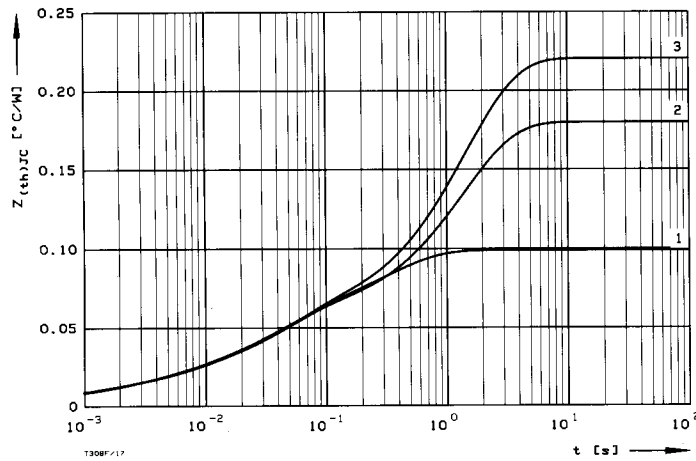




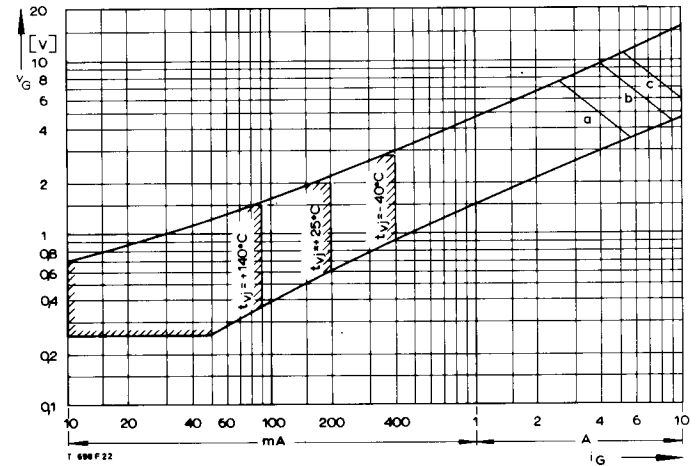
Bild/Fig. 16  
 Rückstromspitze  $I_{RM} = f(-di/dt)$ ,  $t_{vj} = t_{vj(max)}$ ,  $V_R = 0,5 V_{RRM}$ ,  $V_{RM} = 0,8 V_{RRM}$   
 Peak reverse recovery current  $I_{RM} = f(-di/dt)$ ,  $t_{vj} = t_{vj(max)}$ ,  $V_R = 0,5 V_{RRM}$ ,  $V_{RM} = 0,8 V_{RRM}$   
 Parameter: Durchlaßstrom/On-state current  $I_{TM}$



Bild/Fig. 18  
 Zündverzugs/Gate controlled delay time  $t_{gd} = f(i_{GM})$ ,  $t_{vj} = 25^\circ\text{C}$ ,  $di_G/dt = i_{GM}/1 \mu\text{s}$   
 a – Maximaler Verlauf/Limiting characteristic  
 b – Typischer Verlauf/Typical characteristic



Bild/Fig. 17  
 Transienter innerer Wärmewiderstand  $Z_{thJC} = f(t)$ , DC  
 Transient thermal impedance  $Z_{thJC} = f(t)$ , DC  
 1 Beidseitige Kühlung/two-sided cooling  
 2 Anodenseitige Kühlung/anode side cooling  
 3 Kathodenseitige Kühlung/cathode side cooling



Bild/Fig. 19  
 Steuercharakteristik mit Zündbereichen/Gate characteristic with triggering areas  
 $V_G = f(i_G)$ ,  $V_D = 6 \text{ V}$

Parameter:

	a	b	c
Steuerimpulsdauer/Trigger pulse duration $t_g$ [ms]	10	1	0,5
Höchstzulässige Spitzensteuerverlustleistung/ Max. rated peak gate power dissipation $P_{GM}$ [W]	20	40	60

Analytische Elemente des transienten Wärmewiderstandes  $Z_{thJC}$  für DC  
 Analytical elements of transient thermal impedance  $Z_{thJC}$  for DC

Kühlung cooling	Pos. n	1	2	3	4	5	6	7
beidseitig two-sided	$R_{thn}$ [ $^\circ\text{C}/\text{W}$ ]	0,0078	0,0115	0,0368	0,0429			
	$\tau_n$ [s]	0,00064	0,00593	0,0427	0,325			
anodenseitig anode-sided	$R_{thn}$ [ $^\circ\text{C}/\text{W}$ ]	0,0006	0,0072	0,011	0,0392	0,122		
	$\tau_n$ [s]	0,000140	0,000750	0,00570	0,038	1,4		
kathodenseitig cathode-sided	$R_{thn}$ [ $^\circ\text{C}/\text{W}$ ]	0,00445	0,0134	0,0406	0,162			
	$\tau_n$ [s]	0,000368	0,00347	0,0426	1,462			

Analytische Funktion/analytical function:

$$Z_{thJC} = \sum_{n=1}^{n_{max}} R_{thn} (1 - \text{EXP}(-t/\tau_n))$$